

## Diapositive 1

# PROPAGATION et ELECTROMAGNETISME

VERGEADE CONSULTANT  
TOUS DROITS DEPOSES

## Diapositive 2

### 1. Transmission des ondes électromagnétiques dans l'espace libre

#### 1.1 Théorie générale

##### 1.1.1 Rappel de physique

#### *Les éléments du magnétisme*

$\vec{H}$  : champ magnétique

$\vec{B}$  : induction magnétique

$\mu$  : perméabilité

VERGEADE CONSULTANT  
TOUS DROITS DÉPOSÉS

## Diapositive 3

### 1. Transmission des ondes électromagnétiques dans l'espace libre

#### 1.1 Théorie générale

##### 1.1.1 Rappel de physique

##### ***Les grandeurs électriques***

$\vec{E}$  : champ électrique

$\vec{D}$  : induction électrique

$\vec{J}$  : densité de courant

$\epsilon$  : constante diélectrique

$\rho$  : densité de charge électrique

$\sigma$  : conductibilité

VERGEADE CONSULTANT  
TOUS DROITS DÉPOSÉS

## Diapositive 4

### 1. Transmission des ondes électromagnétiques dans l'espace libre

#### 1.1 Théorie générale

##### 1.1.1 Rappel de physique

**Les 4 équations de Maxwell (1831-1879)**

$$\text{rot } \vec{H} = \vec{J} + \partial \vec{D} / \partial t$$

$$\text{rot } \vec{E} = - \partial \vec{B} / \partial t$$

$$\text{div } \vec{D} = \rho$$

$$\text{div } \vec{B} = 0$$

**REM: 1. Il y a conservation de la charge !**

**2. Il existe des conditions aux limites !**

VERGEADE CONSULTANT  
TOUS DROITS DÉPOSÉS

## Diapositive 5

### 1. Transmission des ondes électromagnétiques dans l'espace libre

#### 1.1 Théorie générale

##### 1.1.1 Rappel de physique

##### ***La cinquième équation de Maxwell !***

$$\text{div } \vec{J} = - \partial \rho / \partial t$$

Les 4 premières équations ne sont pas indépendantes : les deux premières et celle issue de la conservation de la charge , projetées sur les trois axes de coordonnées fournissent 9 équations.

A tout instant, en tout point d'un milieu donné, on peut déterminer les trois vecteurs :

$$\vec{H} \quad , \quad \vec{B} \quad , \quad \vec{J}$$

Les équations de Maxwell résument les lois essentielles de la propagation des ondes électromagnétiques et optiques

VERGEADE CONSULTANT  
TOUS DROITS DÉPOSÉS

## Diapositive 6

### 1. Transmission des ondes électromagnétiques dans l'espace libre

#### 1.1 Théorie générale

##### 1.1.2 Onde Plane et équation d'onde

***Nous supposons les hypothèses suivantes :***

1. Les solutions des équations qui nous intéressent sont sinusoïdales :

$$\begin{array}{l} \vec{H} \begin{array}{l} H_x^0 \cos(\omega t - f_x) \\ H_y^0 \cos(\omega t - f_y) \\ H_z^0 \cos(\omega t - f_z) \end{array} \end{array} \begin{array}{l} = H_x \\ = H_y \\ = H_z \end{array} \quad H_x \times e^{j(f_x)}$$

Notation des nbr complexes :

$$H_x = \text{partie réelle de } H_x e^{-j\omega t}$$

VERGEADE CONSULTANT  
TOUS DROITS DÉPOSÉS

## Diapositive 7

### 1. Transmission des ondes électromagnétiques dans l'espace libre

#### 1.1 Théorie générale

##### 1.1.2 Onde Plane et équation d'onde

**Avec cette notation, les équations de Maxwell (complexes s'écrivent) :**

$$\text{rot } \vec{H} = \vec{J} - j\omega\vec{D}$$

$$\text{rot } \vec{E} = -j\omega\vec{B}$$

$$\text{div } \vec{D} = r$$

$$\text{div } \vec{B} = 0$$

$$\text{div } \vec{J} = j\omega r$$

$r$  est une grandeur complexe indépendante du temps!

VERGEADE CONSULTANT  
TOUS DROITS DÉPOSÉS

## Diapositive 8

### 1. Transmission des ondes électromagnétiques dans l'espace libre

#### 1.1 Théorie générale

##### 1.1.2 Onde Plane et équation d'onde

2. Le milieu où se déplace l'onde est supposé ISOTROPE\*:

$$\vec{B} = m \vec{H}$$

$$\vec{D} = e \vec{E}$$

$$\vec{J} = s \vec{E}$$

$$\text{rot } \vec{H} = (s - j\omega e) \times \vec{E}$$

$$\text{En posant } e' = e + j \frac{s}{\omega}$$

Nous pouvons réécrire les équations de Maxwell:

VERGEADE CONSULTANT  
TOUS DROITS DÉPOSÉS



## Diapositive 9

### 1. Transmission des ondes électromagnétiques dans l'espace libre

#### 1.1 Théorie générale

##### 1.1.2 Onde Plane et équation d'onde

$$\text{rot } \vec{H} = j\omega \vec{e} \times \vec{E}$$

$$\text{rot } \vec{E} = j\omega \vec{m} \vec{H}$$

$$\text{div } \vec{e}' \vec{E} = 0$$

$$\text{div } \vec{m} \vec{H} = 0$$

$$\text{div } \vec{s} \vec{E} = j\omega r$$

$$\text{Avec } \vec{e}' = \vec{e} + j \frac{\vec{s}}{\omega}$$

Cherchons les solutions de ces équations par rapport au champ électrique en utilisant des opérateurs mathématiques connus:

VERGEADE CONSULTANT  
TOUS DROITS DÉPOSÉS

1. Transmission des ondes électromagnétiques dans l'espace libre

1.1 Théorie générale

1.1.2 Onde Plane et équation d'onde

$$\text{rot rot } \vec{E} = j\omega\mu \text{ rot } \vec{H}$$

Mais on sait que :  $\text{rot rot } \vec{E} = \text{grad div } \vec{E} - \Delta \vec{E}$

Sachant que  $\text{div } \vec{E} = 0$

$$\Delta \vec{E} = \frac{d^2}{dx^2} + \frac{d^2}{dy^2} + \frac{d^2}{dz^2}$$

Il vient  $-\Delta \vec{E} = j\omega\mu(-j\omega\epsilon \vec{E})$

En posant  $k^2 = \omega^2 \mu\epsilon$

$$\Delta \vec{E} + k^2 \vec{E} = 0$$

## Diapositive 11

### 1. Transmission des ondes électromagnétiques dans l'espace libre

#### 1.1 Théorie générale

##### 1.1.2 Onde Plane et équation d'onde

L'équation des ondes :

$$\Delta \vec{E} + k^2 \vec{E} = 0$$

Constante de propagation :

$$k = \omega \sqrt{\mu \epsilon}$$

Admet de multiples solutions qui dépendent des C.I de création de l'onde.

$$\vec{E}(x, y, z) e^{-j\omega t} = \vec{E}_0 e^{j(k_x x + k_y y + k_z z - \omega t)}$$

A condition que :

$$k_x^2 + k_y^2 + k_z^2 = k^2$$

VERGEADE CONSULTANT  
TOUS DROITS DEPOSES

## Diapositive 12

### 1. Transmission des ondes électromagnétiques dans l'espace libre

#### 1.1 Théorie générale

##### 1.1. 3 Onde Plane et Polarisation

#### ***Nous posons les hypothèses suivantes :***

-l'onde plane se déplace suivant l'axe Ox

-le milieu où se déplace l'onde est supposé NON CONDUCTEUR\*.

-  $\vec{E}$  n'a qu'une seule composante Ey

-  $\vec{H}$  n'a qu'une seule composante Hz

L'onde est dite POLARISEE dans la direction Oy (ou polarisation verticale)

VERGEADE CONSULTANT  
TOUS DROITS DEPOSES

1. Transmission des ondes électromagnétiques dans l'espace libre

1.1 Théorie générale

1.1.3 Onde Plane et polarisation

**Des équations de Maxwell, et de toutes ces hypothèses:**

$$\text{rot } \vec{H} = \vec{J} + \partial \vec{D} / \partial t$$

$$\vec{i}(\partial H_z / \partial y - \partial H_y / \partial z) + \vec{j}(\partial H_x / \partial z - \partial H_z / \partial x) + \vec{z}(\partial H_y / \partial x - \partial H_x / \partial y) = \partial(\vec{i}D_x + \vec{j}D_y + \vec{z}D_z) / \partial t$$

$$\text{sur } \vec{j} : -\frac{\partial H_z}{\partial x} = \frac{\partial D_y}{\partial t}$$

$$\text{soit : } \frac{\partial H_z}{\partial x} = -e \times \frac{\partial E_y}{\partial t}$$

$$\text{ou : } \frac{\partial}{\partial t} \left( \frac{\partial H_z}{\partial x} \right) = -e \times \frac{\partial^2 E_y}{\partial t^2}$$

VERGEADE CONSULTANT  
TOUS DROITS DÉPOSÉS

1. Transmission des ondes électromagnétiques dans l'espace libre

1.1 Théorie générale

1.1.3 Onde Plane et polarisation

De même :

$$\text{rot } \vec{E} = \partial \vec{B} / \partial t$$

$$\vec{i}(\partial E_z / \partial y - \partial E_y / \partial z) + \vec{j}(\partial E_x / \partial z - \partial E_z / \partial x) + \vec{z}(\partial E_y / \partial x - \partial E_x / \partial y) = \partial(\vec{i}B_x + \vec{j}B_y + \vec{z}B_z) / \partial t$$

$$\text{sur } \vec{j} : \frac{\partial E_y}{\partial x} = - \frac{\partial B_z}{\partial t}$$

$$\text{soit : } \frac{\partial E_y}{\partial x} = -\mu \times \frac{\partial H_z}{\partial t}$$

$$\text{ou : } \frac{\partial^2 E_y}{\partial x^2} = -\mu \times \frac{\partial}{\partial x} \left( \frac{\partial H_z}{\partial t} \right)$$

VERGEADE CONSULTANT  
TOUS DROITS DÉPOSÉS

1. Transmission des ondes électromagnétiques dans l'espace libre

1.1 Théorie générale

1.1.3 Onde Plane et polarisation

*Avec les deux équations différentielles précédentes :*

$$\frac{\partial^2 \mathbf{E}_y}{\partial x^2} = \mu \epsilon \frac{\partial^2 \mathbf{E}_y}{\partial t^2}$$

$$\text{ou : } \frac{\partial^2 \mathbf{H}_z}{\partial t^2} = \frac{1}{\mu \epsilon} \frac{\partial^2 \mathbf{H}_z}{\partial x^2}$$

$$\frac{\partial^2 \mathbf{E}_y}{\partial x^2} - \mu \epsilon \frac{\partial^2 \mathbf{E}_y}{\partial t^2} = 0$$

Equation des cordes vibrantes !

Onde plane et polarisation verticale = succession d'approximations !

1. Transmission des ondes électromagnétiques dans l'espace libre

1.1 Théorie générale

1.1.3 Onde plane et Polarisation

*Equations aux dimensions :*

$$\frac{\partial^2 E_y}{\partial x^2} = \mu e \times \frac{\partial^2 E_y}{\partial t^2}$$

$$\text{ou : } \frac{v}{m s^{-2}} = \frac{1}{\mu e} \times \frac{v}{m^2 \times m}$$

$$\text{ou : } \frac{1}{\mu e} = \left(\frac{m}{s}\right)^2$$



1. Transmission des ondes électromagnétiques dans l'espace libre

1.1 Théorie générale

1.1.4 Comportement des milieux de propagation

En supposant que le milieu était isotrope :

$$\epsilon' = \epsilon + j \frac{\sigma}{\omega}$$

Nous avons écrit :  $\text{rot } \vec{H} = \sigma \vec{E} - j \omega \epsilon \vec{E} = -j \omega \epsilon' \vec{E}$

Courant de conduction

Courant de déplacement

Utilisation des grandeurs relatives :

$$\epsilon_r = \frac{\epsilon}{\epsilon_0} \text{ et } \epsilon'_r = \frac{\epsilon'}{\epsilon_0} = \epsilon_r + j \frac{\sigma}{\epsilon_0 \omega}$$

$$\mu_r = \frac{\mu}{\mu_0}$$

Constante diélectrique du vide :

$$\epsilon_0 = \frac{10^{-9}}{36 \pi} \text{ (F/m)}$$

Perméabilité du vide :

$$\mu_0 = 4 \pi 10^{-7} \text{ (H/m)}$$

VERGEADE CONSULTANT  
TOUS DROITS DÉPOSÉS

1. Transmission des ondes électromagnétiques dans l'espace libre

1.1 Théorie générale

1.1.4 Comportement des milieux de propagation

Dans la plupart des cas on prend :  $m = m_0$  donc  $m_r = 1$

On peut écrire :  $\epsilon'_r = \epsilon_r + 60 s l_0$

$$\frac{\text{courant de conduction}}{\text{courant de déplacement}} = \frac{s}{\omega \epsilon} = \frac{60 s l_0}{\epsilon_r}$$

Fréquences basses :  $60 s l \gg \epsilon_r$

Le courant de conduction « l'emporte » ex : le sol est un conducteur

Fréquences hautes :  $60 s l \ll \epsilon_r$

Le courant de déplacement « l'emporte » ex : le sol est un diélectrique

VERGEADE CONSULTANT  
TOUS DROITS DÉPOSÉS

1. Transmission des ondes électromagnétiques dans l'espace libre

Résumé

$$\text{rot } \vec{E} = - \frac{d\vec{B}}{dt}$$

$$\text{rot } \vec{B} = \mu_0 \left( \vec{J} + \epsilon_0 \frac{d\vec{E}}{dt} \right)$$

$$\text{div } \vec{E} = \frac{\rho}{\epsilon_0}$$

$$\text{div } \vec{B} = 0$$

$$\Delta \vec{E} = - \frac{1}{c^2} \times \frac{d^2 \vec{E}}{dt^2}$$

$$\Delta \vec{B} = - \frac{1}{c^2} \times \frac{d^2 \vec{B}}{dt^2}$$

$$\text{rot } \vec{H} = s \vec{E} - j \omega \epsilon_0 \vec{E} = - j \omega \epsilon_0 \vec{E}$$

*Courant de conduction*

*Courant de déplacement*

VERGEADE CONSULTANT  
TOUS DROITS DÉPOSÉS

1. Transmission des ondes électromagnétiques dans l'espace libre

1.1 Théorie générale

1.1.4 Vitesse de phase

Dérivons le terme de la phase du signal :  $wt - b \times x$

$$w - b \frac{\partial x}{\partial t} = 0$$

$$\frac{w}{b} = \frac{\partial x}{\partial t} = n = \frac{1}{\sqrt{\mu \epsilon}}$$

$$c^2 = \frac{1}{\mu \times \epsilon}$$

**Vitesse de phase = vitesse de déplacement des plans d'équiphasse**

Dans le vide :  $\mu_0 = 4\pi 10^{-7} \text{ (H/m)}$

$$\epsilon_0 = \frac{10^{-9}}{36 \pi} \text{ (F/m)}$$

C = 300.000 km/s

VERGEADE CONSULTANT  
TOUS DROITS DEPOSES

1. Transmission des ondes électromagnétiques dans l'espace libre

1.1 Théorie générale

1.1.5 Indice de réfraction

Il est défini par :

$$h = \sqrt{e_r'} = \sqrt{e_r + j60sI}$$

Que l'on peut écrire :

$$h = n + jX$$

$$n = \frac{\sqrt{e_r}}{\sqrt{2}} \left[ 1 + \sqrt{1 + \left( \frac{60sI}{e_r} \right)^2} \right]^{1/2}$$

$$X = \frac{\sqrt{e_r}}{\sqrt{2}} \left[ -1 + \sqrt{1 + \left( \frac{60sI}{e_r} \right)^2} \right]^{1/2}$$

VERGEADE CONSULTANT  
TOUS DROITS DÉPOSÉS

## Diapositive 22

### Variation de la constante diélectrique et de la conductivité pour différents sols

A : Fréquences inférieures à 90 MHz

Type de sol	$\epsilon_s$		$\sigma$		$\frac{\sigma}{\epsilon_s}$
	limites	typiques	limites	typiques	
Villes - régions industrialisées	2 à 5	4	$10^{-6}$ à $10^{-5}$	$5 \cdot 10^{-6}$	2 MHz
Terrains sablonneux et secs	3 à 10	8		$2 \cdot 10^{-5}$	2 MHz
Pâturages, terrains boisés, sols humides	10 à 17	15	$2 \cdot 10^{-5}$ à $2 \cdot 10^{-4}$	$4 \cdot 10^{-5}$	5,5 MHz
Terrains humides (marécages, terrains vides)	15 à 20	18	$10^{-3}$ à $2 \cdot 10^{-3}$	$10^{-3}$	11 MHz
Sea Grass		20	$10^{-3}$ à $2 \cdot 10^{-3}$	$10^{-3}$	200 MHz
Sea de mer		80		8,5	200 MHz

### B : Ondes très courtes

Fréquences	Type de sol	$\epsilon_s$	$\sigma$
30 à 150 MHz	Terrains secs	5 à 8	$2 \cdot 10^{-5}$
	Terrains humides	15 à 20	$5 \cdot 10^{-5}$
200 MHz	Terrains secs	5 à 8	$10^{-5}$
	Terrains humides	15 à 20	$2 \cdot 10^{-5}$
> 300 MHz	Terrains secs	5 à 8	$5 \cdot 10^{-5}$
	Terrains humides	15 à 20	2,7
	Sea Grass	20	2
	Sea de mer	80	8

1.2.Ondes électromagnétiques dans différents milieux

1.2.1 Impédance dans les milieux diélectriques

Onde plane :  $\mathbf{H}_z = \mathbf{H}_0 \sin(\omega t - \mathbf{b}\mathbf{x})$

Equation de Maxwell :  $\text{rot } \vec{\mathbf{E}} = - \partial \vec{\mathbf{B}} / \partial t$

soit :  $\frac{\partial \mathbf{E}_y}{\partial \mathbf{x}} = -\mu \times \frac{\partial \mathbf{H}_z}{\partial t}$

L'impédance du milieu est définie par le module de Z, tel que :  $Z = \frac{\mathbf{E}_y}{\mathbf{H}_z} = \mu \frac{\omega}{b}$

$\text{Mod}(Z) = \sqrt{\mu / \epsilon}$

1.2. Ondes électromagnétiques dans différents milieux

1.2.1 Impédance dans les milieux diélectriques

$$\mu_0 = 4\pi 10^{-7} \text{ (H/m)}$$

$$\epsilon_0 = \frac{10^{-9}}{36\pi} \text{ (F/m)}$$

Dans le vide :

$$\sqrt{\mu_0 / \epsilon_0} = 120\pi = 377 \text{ ohms}$$



## Diapositive 25

### 1.2 Ondes électromagnétiques dans différents milieux

#### 1.2.2 Ondes stationnaires

Onde incidente  $E_y \text{ inc}$

Onde réfléchie  $E_y \text{ ref}$

Onde transmise  $E_y \text{ trans}$

$$E_y \text{ inc} = E_0 e^{j(\omega t + bx)}$$

$$E_y \text{ ref} = E_1 e^{j(\omega t - bx + d)}$$

Onde totale au milieu  $n_1$  :  $E_y = E_y \text{ inc} + E_y \text{ ref}$

Im ( $E_y$ ) avec  $d = 180^\circ \text{ ou } 0^\circ$

$$\text{Im}(E_y) = (E_0 + E_1) \sin \omega t \cos bx + (E_0 - E_1) \cos \omega t \sin bx$$

Si  $E_1 = E_0$  :  $E_y$  l'onde est stationnaire

VERGEADE CONSULTANT  
TOUS DROITS DÉPOSÉS

1.2.Ondes électromagnétiques dans différents milieux

1.2.3 Energie et Propagation

We : Densité d'énergie électrique

$$W_e = \frac{1}{2} \epsilon E^2$$

Wm : Densité d'énergie magnétique

$$W_m = \frac{1}{2} \mu H^2$$

La densité totale d'énergie électromagnétique:  $W_e + W_m$

$$W_{\text{totale}} = \frac{1}{2} (\epsilon E^2 + \mu H^2)$$

Dans le cas d'une onde plane :

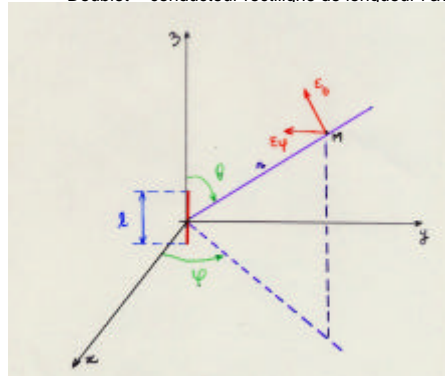
$$W_{\text{totale}} = \epsilon E^2$$

VERGEADE CONSULTANT  
TOUS DROITS DÉPOSÉS

### 1.3 Antenne doublet et source isotrope

#### 1.3.1 Rayonnement du doublet électrique

Doublet = conducteur rectiligne de longueur  $l$  avec :  $l \ll \lambda_0$



$E_r, H_r$

Composantes radiales

$E_q, H_q$

Composantes normales

$E_j, H_j$

Composantes normales  
contenues dans un plan //  
à xOy

TOUS DROITS DEPOSES

1.3 Antenne doublet et source isotrope

1.3.1 Rayonnement du doublet électrique

$$E_r = \frac{jI\ell \cos \theta}{2\pi \epsilon_0 w r^3} \times (1 - jbr) e^{jbr}$$

$$E_\theta = \frac{jI\ell \sin \theta}{4\pi \epsilon_0 w r^3} \times (1 - jbr - b^2 r^2) e^{jbr}$$

$$E_\phi = 0 \quad H_\theta = 0 \quad H_r = 0$$

$$H_\phi = \frac{I\ell \sin \theta}{4\pi r^2} \times (1 - jbr) e^{jbr}$$

VERGEADE CONSULTANT  
TOUS DROITS DÉPOSÉS

### 1.3 Antenne doublet et source isotrope

#### 1.3.2 Champ à grande distance

Loin de l'antenne,  $\frac{1}{I_0 r}$  Devient prépondérant

$$\vec{E}_q = -\frac{j60 \Pi}{l} \times \frac{e^{jbr}}{r} \sin q$$

$$\vec{H}_j = \frac{-j\Pi}{2l} \times \frac{e^{jbr}}{r} \sin q$$

Remarque : notion d'impédance

$$\frac{\text{Mod } \vec{E}}{\text{Mod } \vec{H}} = \frac{E_q}{H_j} = 120 \text{ } \Omega$$

VERGEADE CONSULTANT  
TOUS DROITS DÉPOSÉS

1.3 Antenne doublet et source isotrope

1.3.2 Champ à grande distance

$$\mathbf{E}_q = \frac{-j60 \Pi}{l} \times \frac{e^{jbr}}{r} \sin q$$

$$\mathbf{H}_j = \frac{-j\Pi}{2l} \times \frac{e^{jbr}}{r} \sin q$$

Les champs E et H sont en phase et perpendiculaires entre eux

Le champ rayonné à grande distance du doublet a une structure analogue à celle d'une onde plane

Il existe un affaiblissement géométrique de l'onde en  $1/r$

1.3 Antenne doublet et source isotrope  
1.3.3 Puissance rayonnée par le doublet

$$\vec{S} = \vec{E} \wedge \vec{H}$$

Energie par surface

$$\text{Mod}(\vec{S}) = \frac{E^2}{240\pi} (\text{Wb/m})$$

$$\text{Mod}(\vec{S}) = 15\pi \frac{I^2 l^2}{I^2 r^2} \times \sin^2 \theta$$

A travers une surface de rayon r :

$$P = \iint S \times r^2 \sin(\theta) d\theta d\phi$$

1.3 Antenne doublet et source isotrope

1.3.3 Puissance rayonnée par le doublet

A travers une surface de rayon r :

$$P = 120p \times \frac{I^2 l^2}{l^2} \int_0^{\frac{\pi}{2}} \sin^2 \theta \int_0^{\frac{\pi}{2}} \sin^3(q) dq$$

$$P = 40p^2 \frac{l^2}{l^2} I^2$$

VERGEADE CONSULTANT  
TOUS DROITS DÉPOSÉS



1.3 Antenne doublet et source isotrope

1.3.4 Source Isotrope

C'est une source ponctuelle, dont le rayonnement est identique **dans toutes les directions**.

A une distance  $r$  :

$$P_u = \frac{P}{4\pi r^2}$$

Puissance par unité de surface

$$P_u = \frac{E_o^2}{240 p}$$

Si  $r$  est grand, l'onde est plane

$$E_o = \frac{\sqrt{60P}}{r}$$

VERGEADE CONSULTANT  
TOUS DROITS DÉPOSÉS

1.3 Antenne doublet et source isotrope

Remarque: Cas du doublet

Nous avons vu dans le cas du doublet :

$$E_q = \frac{-j60\pi}{l} \times \frac{e^{jbr}}{r} \sin q$$

Avec

$$P = 40\pi^2 \frac{l^2}{l^2} I^2$$

Si

$$q = \frac{p}{2}$$

Le champ est alors maximum :

$$E_{\max} = \frac{3\sqrt{10P}}{r}$$

VERGEADE CONSULTANT  
TOUS DROITS DEPOSES

1. Transmission des Ondes électromagnétiques :RESUME

1. Notion d'onde plane est une approximation, loin de la source; sinon onde sphérique

2. La puissance OEM rayonnée à travers une surface = flux du vecteur de Poynting à travers cette surface :  $S = E \wedge H$

3. Le doublet engendre un champ défini tel que :

$\vec{E}$  : champ électrique     $\vec{H}$  : champ magnétique

- E et H sont en phase, perpendiculaire entre eux et à la direction de propagation

- L'intensité de E et H est maximum, dans la direction perpendiculaire au doublet

$\vec{E}$  : champ électrique et puissance d'alimentation sont liés par :

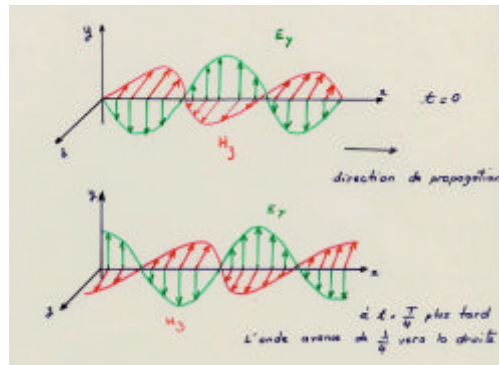
$$E_0 = \frac{\sqrt{30P}}{r} \sin \theta$$

VERGEADE CONSULTANT  
TOUS DROITS DEPOSES

## 2. Réflexion, Réfraction des ondes électromagnétiques

### 2.1 Introduction

#### 2.1.1 Onde plane



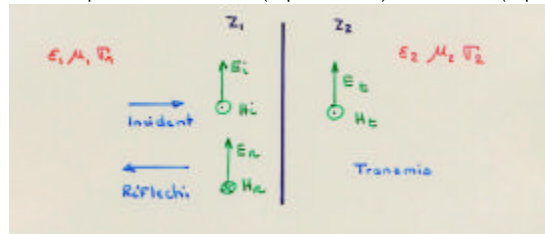
VERGEADE CONSULTANT  
TOUS DROITS DÉPOSÉS

## 2. Réflexion, Réfraction des ondes électromagnétiques

### 2.1 Introduction

#### 2.1.2 Incidence normale

Trajet d'une onde passant d'un milieu 1 (impédance  $Z_1$ ) à un milieu 2 (impédance  $Z_2$ ) :



$$E_t = E_i + E_r \text{ et } H_t = H_i + H_r$$

Milieu 1 :  $Z_1 = \frac{E_i}{H_i} = - \frac{E_r}{H_r}$  Inversion de propagation

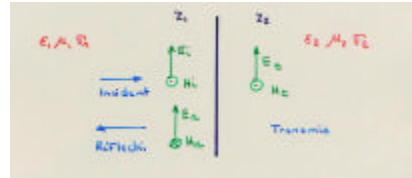
Milieu 2 :  $Z_2 = \frac{E_t}{H_t}$

VERGEADE CONSULTANT  
TOUS DROITS DÉPOSÉS

## 2. Réflexion, Réfraction des ondes électromagnétiques

### 2.1 Introduction

#### 2.1.2 Incidence normale



$$H_t = \frac{E_i}{Z_1} - \frac{E_r}{Z_1} = \frac{E_t}{Z_2}$$

Soit :

$$E_t = \frac{Z_2}{Z_1} \times E_i - \frac{Z_2}{Z_1} \times E_r \quad (1)$$

et :

$$\frac{Z_2}{Z_1} E_t = \frac{Z_2}{Z_1} \times E_i + \frac{Z_2}{Z_1} \times E_r \quad (2)$$

VERGEADE CONSULTANT  
TOUS DROITS DEPOSES

## 2. Réflexion, Réfraction des ondes électromagnétiques

### 2.1 Introduction

#### 2.1.2 Incidence normale

(1),(2)

$$E_t = \frac{2 Z_2}{Z_1 + Z_2} \times E_i$$

(1),(2)

$$E_r = \frac{Z_1 - Z_2}{Z_1 + Z_2} \times E_i$$

En en déduit le coefficient de transmission:

$$T = \frac{E_t}{E_i} = \frac{2 Z_2}{Z_1 + Z_2}$$

Et le coefficient de réflexion :

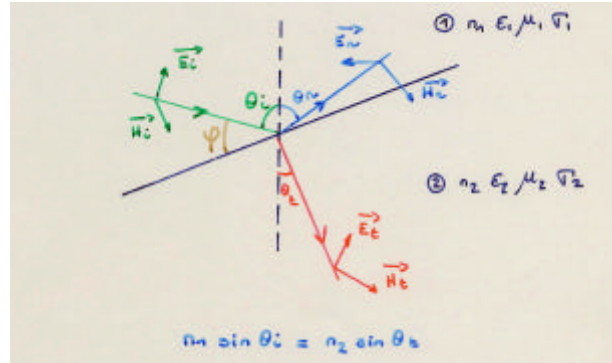
$$r = \frac{E_r}{E_i} = \frac{Z_1 - Z_2}{Z_1 + Z_2}$$

## 2. Réflexion, Réfraction des ondes électromagnétiques

### 2.2 Réflexion et Réfraction

#### 2.2.1 Onde Incidente à Polarisation Verticale

E incident se trouve dans le plan vertical d'incidence



VERGEADE CONSULTANT  
TOUS DROITS DÉPOSÉS



## 2. Réflexion, Réfraction des ondes électromagnétiques

### 2.2 Réflexion et Réfraction

#### 2.2.1 Onde Incidente à Polarisation Verticale

Il y a 3 conditions aux limites :

1. Continuité de la composante TANGENTIELLE de :  $\vec{E}$  : champ électrique

$$(\vec{E}_i - \vec{E}_r) \cos q_i = \vec{E}_t \times \cos q_t$$

2. Continuité de la composante TANGENTIELLE de :  $\vec{H}$  : champ magnétique

$$(\vec{H}_i + \vec{H}_r) = \vec{H}_t$$

3. Continuité de la composante NORMALE de :  $\vec{D}$  : induction électrique

$$\epsilon_1 (\vec{E}_i - \vec{E}_r) \sin q_i = \epsilon_2 \vec{E}_t \times \sin q_t$$

## 2. Réflexion, Réfraction des ondes électromagnétiques

### **2.2 Réflexion et Réfraction**

#### 2.2.1 Onde Incidente à Polarisation Verticale

Coefficient de réflexion électrique

$$R_v = \frac{E_r}{E_i} = \frac{n_2 \cos \theta_i - n_1 \cos \theta_t}{n_2 \cos \theta_i + n_1 \cos \theta_t}$$

Coefficient de réfraction électrique

$$T_v = \frac{E_t}{E_i} = \frac{n_1}{n_2} (1 + R_v)$$

Coefficient de réflexion magnétique

$$R'_v = \frac{H_r}{H_i} = R_v$$

Coefficient de réfraction magnétique

$$T'_v = \frac{H_t}{H_i} = 1 + R_v$$

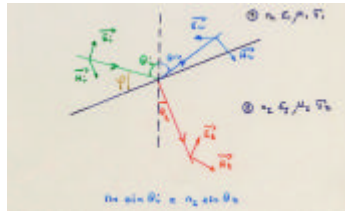
VERGEADE CONSULTANT  
TOUS DROITS DÉPOSÉS

## 2. Réflexion, Réfraction des ondes électromagnétiques

### 2.2 Réflexion et Réfraction

#### 2.2.1 Onde Incidente à Polarisation Verticale

Il est intéressant d'exprimer  $R_v$  en fonction de l'angle  $j$



$$R_v = \frac{\frac{e_1}{e_2} \sin j - \sqrt{\frac{e_2}{e_1} - \cos^2 j}}{\frac{e_1}{e_2} \sin j + \sqrt{\frac{e_2}{e_1} - \cos^2 j}}$$

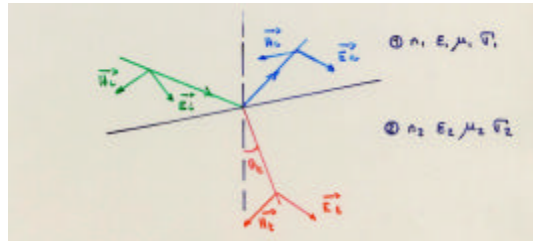
VERGEADE CONSULTANT  
TOUS DROITS DÉPOSÉS

## 2. Réflexion, Réfraction des ondes électromagnétiques

### 2.2 Réflexion et Réfraction

#### 2.2.2 Onde Incidente à Polarisation Horizontale

E incident se trouve dans un plan horizontal parallèle au plan d'incidence



VERGEADE CONSULTANT  
TOUS DROITS DÉPOSÉS

## 2. Réflexion, Réfraction des ondes électromagnétiques

### 2.2 Réflexion et Réfraction

#### 2.2.2 Onde Incidente à Polarisation Horizontale

E incident se trouve dans un plan horizontal parallèle au plan d'incidence

1. Continuité de la composante TANGENTIELLE de :  $\vec{E}$  : champ électrique

$$(\vec{E}_i + \vec{E}_r) = \vec{E}_t$$

2. Continuité de la composante TANGENTIELLE de :  $\vec{H}$  : champ magnétique

$$(H_i - H_r) \cos q_i = H_t \times \cos q_t$$

3. Continuité de la composante NORMALE de :  $\vec{B}$  : induction magnétique

$$m_1 (H_i + H_r) \sin q_i = m_2 H_t \times \sin q_t$$

VERGEADE CONSULTANT  
TOUS DROITS DÉPOSÉS

## 2. Réflexion, Réfraction des ondes électromagnétiques

### 2.2 Réflexion et Réfraction

#### 2.2.2 Onde Incidente à Polarisation Horizontale

Coefficient de réflexion électrique

$$R_H = \frac{E_r}{E_i} = \frac{n_1 \cos q_i - n_2 \cos q_t}{n_1 \cos q_i + n_2 \cos q_t}$$

Coefficient de réfraction électrique

$$T_H = \frac{E_t}{E_i} = 1 + R_H$$

Coefficient de réflexion magnétique

$$R'_H = \frac{H_r}{H_i} = R_H$$

Coefficient de réfraction magnétique

$$T'_H = \frac{H_t}{H_i} = \frac{n_2}{n_1} (1 + R_H)$$

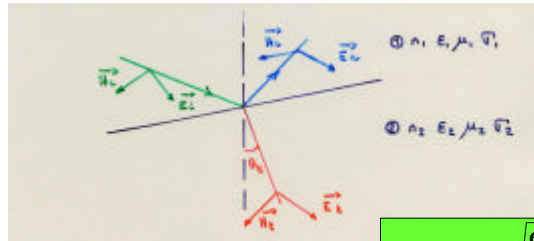
VERGEADE CONSULTANT  
TOUS DROITS DÉPOSÉS

## 2. Réflexion, Réfraction des ondes électromagnétiques

### 2.2 Réflexion et Réfraction

#### 2.2.2 Onde Incidente à Polarisation Horizontale

Il est intéressant d'exprimer  $R_h$  en fonction de l'angle  $j$



$$R_h = \frac{\sin j - \sqrt{\frac{\epsilon_2}{\epsilon_1} - \cos^2 j}}{\sin j + \sqrt{\frac{\epsilon_2}{\epsilon_1} - \cos^2 j}}$$

VERGEADE CONSULTANT  
TOUS DROITS DÉPOSÉS

## 2. Réflexion. Réfraction des ondes électromagnétiques

### 2.2 Réflexion et Réfraction

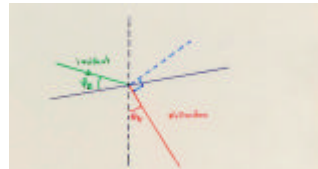
#### 2.2.3 Incidence Brewstérienne

*D. Brewster : Physicien écossais (1781-1868), c'est le premier à avoir rassemblé les lois de la polarisation par réflexion; c'est l'inventeur du kaléidoscope et découvrit les raies telluriques du spectre solaire en 1834 !*

Il existe un angle particulier, en polarisation verticale tel que :

$$q_i + q_t = \frac{p}{2}$$

$$R_v = \frac{E_r}{E_i} = 0$$



Il n'y a **plus de rayon réfléchi** et le rayon réfracté est perpendiculaire à la direction fictive du rayon réfléchi.

VERGEADE CONSULTANT  
TOUS DROITS DÉPOSÉS



### 3. Prédiction de l'Atténuation de Propagation

#### 3.1 Prédiction sur terrain plat

Le champ électrique est la somme :

-d'un champ direct (espace libre) pris comme référence

$\vec{E}_0$  : champ électrique

-d'un champ réfléchi, qui va dépendre du coefficient de réflexion du terrain (nature du sol, humidité...) :

$\vec{E}_r$  : champ réfléchi

1. possédant une amplitude (dépend de la distance et de  $R_v$  ou  $R_h$ )

2. possédant une phase différente de  $E_0$  (différence de trajet et argument du coefficient de réflexion)

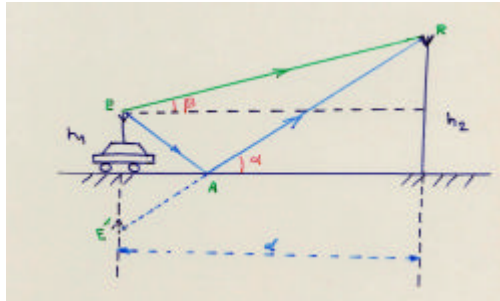
$$\Delta\Phi = \frac{4\pi h_1 h_2}{\lambda d}$$

VERGEADE CONSULTANT  
TOUS DROITS DÉPOSÉS

$$R_v(e_r, j)$$

### 3. Prédiction de l'Atténuation de Propagation

#### 3.1 Prédiction sur terrain plat



-Trajet de l'onde **directe** (espace libre) : ER

-Trajet de l'onde **réfléchi**, qui va dépendre du coefficient de réflexion du terrain (nature du sol, humidité...) :  $EA+ER=E'A+AR$

VERGEADE CONSULTANT  
TOUS DROITS DÉPOSÉS

### 3. Prédiction de l'Atténuation de Propagation

#### 3.1 Prédiction sur terrain plat

-Trajet de l'onde **directe** (espace libre) : ER

$$ER = \frac{d}{\cos b} = d \times \sqrt{1 + \frac{(h_1 + h_2)^2}{d^2}}$$

-Trajet de l'onde **réfléchi** E'R

$$E'R = d \times \sqrt{1 + \frac{(h_2 - h_1)^2}{d^2}}$$

-La différence de trajet vaut :

$$\Delta d = d \times \left( \sqrt{1 + \frac{(h_1 + h_2)^2}{d^2}} - \sqrt{1 + \frac{(h_2 - h_1)^2}{d^2}} \right)$$

VERGEADE CONSULTANT  
TOUS DROITS DÉPOSÉS

### 3. Prédiction de l'Atténuation de Propagation

#### 3.1 Prédiction sur terrain plat

En pratique,  $h_1$  et  $h_2 \ll d$  :

$$\Delta d \approx \frac{1}{2d} \times [(h_1 + h_2)^2 - (h_2 - h_1)^2]$$

$$\Delta d \approx \frac{2h_1 h_2}{d}$$

-La différence de phase vaut

$$\Delta \Phi \approx \frac{4\pi h_1 h_2}{\lambda d}$$

VERGEADE CONSULTANT  
TOUS DROITS DÉPOSÉS

### 3. Prédiction de l'Atténuation de Propagation

#### 3.2 Point de réflexion en A

Le sol est caractérisé par :  $\epsilon_r$  : constante diélectrique

$S$  : conductibilité

Dépend de la polarisation !

$$R_v = \frac{\frac{e_1 \sin j}{e_2} - \sqrt{\frac{e_2}{e_1} - \cos^2 j}}{\frac{e_1 \sin j}{e_2} + \sqrt{\frac{e_2}{e_1} - \cos^2 j}}$$

$$E_r = E_o (1 + R_v e^{j\Delta\Phi})$$

VERGEADE CONSULTANT  
TOUS DROITS DÉPOSÉS

### 3. Prédiction de l'Atténuation de Propagation

3.3 Cas général : approximation sur Rv

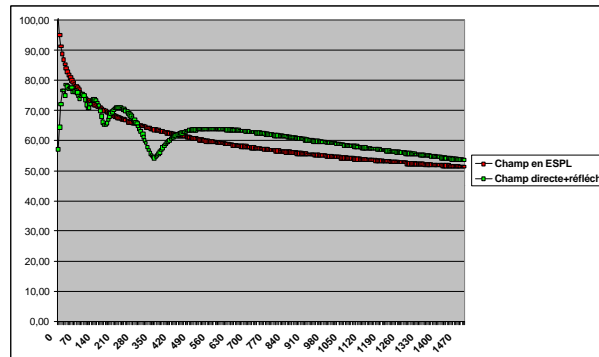
Avec l'approximation, Rv = -1 en polarisation verticale :

$$\frac{E}{E_0} = 2 \sin \frac{2 p h_1 h_2}{l d}$$

Equation mettant en évidence le caractère interférentiel du champ qui passe par des maxima et des minima d'autant plus espacés que la distance augmente !

### 3. Prédiction de l'Atténuation de Propagation

3.3 Cas général : Champ en dB $\mu$ V/m à 900 Mhz pour h1=30m et h2=2m



Caractère interférentiel du champ qui passe par des maxima et des minima d'autant plus espacés que la distance augmente !

VERGEADE CONSULTANT  
TOUS DROITS DÉPOSÉS

### 3. Prédiction de l'Atténuation de Propagation

3.4 Etude sans approximation

$$ER = r_1$$

et

$$EA + ER = r_2$$

Alors :

$$r_1 = \frac{d}{\cos b}$$

$$r_2 = \frac{d}{\cos a}$$

$$b = \text{Arctg} \left( \frac{h_b - h_m}{d_1} \right)$$

$$a = \text{Arctg} \left( \frac{h_b + h_m}{d_1} \right)$$

Le champ émis par un doublet étant :

$$E = \frac{3 \sqrt{10} P}{r} = \frac{E_0}{r}$$



### 3. Prédiction de l'Atténuation de Propagation

#### 3.4 Etude sans approximation

A la station de base, il y a réception d'un champ direct et d'un champ réfléchi :

$$E_{\text{directe}} = \frac{E_0}{r_1} \cos(\theta_1) \times e^{jkr_1}$$

$$E_{\text{réfléchi}} = \frac{E_0}{r_2} \cos(\theta_2) \times e^{jkr_2}$$

Si à la station de base, l'antenne est un doublet :

$$E_{\text{total}} = \frac{E_0}{r_1} \cos^2(\theta_1) \times e^{jkr_1} + \frac{E_0}{r_2} R_v \times \cos^2(\theta_2) e^{jkr_2}$$

## Diapositive 58

Soit en fonction de  $d$  :

$$E_{\text{total}} = \frac{E_0}{d} [ \cos^3(b) \times e^{jkr_1} + R_v \times \cos^3(a) e^{jkr_2} ]$$

$$R_v = \frac{e'_r \sin a - \sqrt{e'_r - \cos^2 a}}{e'_r \sin a + \sqrt{e'_r - \cos^2 a}}$$

$$e'_r = e_r + j60sI$$

Ces résultats 'simplifiés' restent valables tant que l'onde d'espace existe seule et que les hauteurs des aériens sont telles que :

$$h_b + h_m > \frac{2I}{pz}$$

$$z = \text{Mod} \left( \frac{\sqrt{e'_r - \cos^2 a}}{e'_r} \right)$$

Validité de l'optique géométrique ! (Boudouris et propagation troposphérique)

VERGEADE CONSULTANT  
TOUS DROITS DÉPOSÉS

## Diapositive 59

Remarque 1: Sans aucune approximation, il existe un terme supplémentaire:  $W$

$$E_{\text{total}} = \frac{E_0}{r_1} \cos^2(\theta) \times e^{jkr_1} + \frac{E_0}{r_2} R_v \times \cos^2(\theta) e^{jkr_2} + \frac{E_0}{r_2} (1 - R_v) W \times e^{jkr_2}$$

$$W = 1 - 2\sqrt{V} \times e^{-V} \int_{j\infty}^{\sqrt{V}} e^{x^2} dx$$

$$V = \frac{4r}{(1 - R_v)^2}$$

Remarque 2: Ces résultats sont valables, à condition que :

$$h_b + h_m < 0,2d$$

VERGEADE CONSULTANT  
TOUS DROITS DÉPOSÉS

## Diapositive 60

$$W = 1 - 2\sqrt{V} \times e^{-V} \int_{j\infty}^{\sqrt{V}} e^{x^2} dx$$

$$V = \frac{4r}{(1 - R_v)^2}$$

Avec la 'distance numérique' :

$$r = \frac{jkr_z \times \frac{e'_r - \cos^2 a}{e'_r{}^2}}{2}$$

Lorsque les aériens ont une hauteur négligeable (hb et hm) vis à vis de la longueur d'onde (radiodiffusion, pour de courtes distances influence de l'ionosphère négligée), toutes ces formules se simplifient :

$$a = b = 0 \text{ et } R_v = -1$$

La composante du champ électrique se réduit à :

$$E = \frac{2 E_o}{d} \times e^{jkd} W$$

L'onde est dite « **de surface** ».

VERGEADE CONSULTANT  
TOUS DROITS DÉPOSÉS

## Diapositive 61

### 3.4 Propagation sans approximation :RESUME

1. Le Sol génère une onde dite réfléchie, et une onde de **surface** dont l'existence est ignorée par l'optique géométrique mais qui dans le cas de la radiodiffusion **renforce considérablement la valeur du champ électrique**.

$$E_{\text{total}} = \frac{E_o}{r_1} \cos^2(b) \times e^{jkr_1} + \frac{E_o}{r_2} R_v \times \cos^2(a) e^{jkr_2} + \frac{E_o}{r_2} (1 - R_v) W \times e^{jkr_2}$$

Onde d'espace

Onde de surface

2. L'ensemble de l'onde d'espace et de l'onde de surface constitue l'onde de Sol.

VERGEADE CONSULTANT  
TOUS DROITS DÉPOSÉS

## Diapositive 62

### **3.4 Propagation sans approximation : Conditions de validité !**

1. Aériens émetteur et récepteur sont suffisamment surélevés :

$$h_b + h_m > \frac{2f}{pz}$$

2. Distance émetteur-récepteur assez petite par rapport à la surface de la terre (courbure de la terre négligée !)

$$d_L = \frac{80}{\sqrt[3]{f}}$$

3. Surface du sol suffisamment régulière, assimilable à un plan (critère de Rayleigh défini après).

4. Sol et Troposphère supposés homogènes.

**C'est surtout la condition 1 qui est limitative car elle impose une condition sur le milieu de propagation et les hauteurs des antennes !**

VERGEADE CONSULTANT  
TOUS DROITS DÉPOSÉS

## Diapositive 63

### 3.4 Propagation sans approximation : Conditions de validité !

Polarisation  
Horizontale !

VERGEADE CONSULTANT  
TOUS DROITS DEPOSES

### 3. Prédiction de l'Atténuation de Propagation

#### 3.5 Critère de Rayleigh

Prise en compte des irrégularités, à condition que celles-ci soient de dimension importantes par rapport à la longueur d'onde du signal !

Si  $h > h_{\text{rayleigh}}$ , il y a : Déplacement du point de réflexion et le trajet de l'onde est raccourci de  $2 \Delta H$ .

$$h_r = \frac{I d}{16 \sin a} = \frac{I d}{16(h_b + h_m)}$$

Ex : Si  $d=30 \text{ km}$   $h=20\text{m}$  et  $F=3000 \text{ Mhz}$  alors  $h_r = ?$



### 3. Prédiction de l'Atténuation de Propagation

#### 3.6 Modèle Théorique simple

Hypothèse : 1 réflexion simple, le champ s'écrit

$$\mathbf{E} = \mathbf{E}_o \times (1 + \mathbf{R}_{v,h} e^{j\Delta f})$$

$$\Delta f = \frac{4p h_1 h_2}{l d}$$

En ESPL, la puissance reçue  $P_r$  est fonction de la puissance transmise  $P_t$  :

$$P_r = \frac{\text{Mod}(\mathbf{E})^2}{2h_o} = P_t \times \left(\frac{l}{4pd}\right)^2$$

$$P_r = P_t \times \left(\frac{l}{4pd}\right)^2 \times \text{Mod}(1 - \cos\Delta f - j\sin\Delta f)$$

TOUS DROITS DEPOSES

## Diapositive 66

$$P_r = P_t \times \left(\frac{l}{4\pi d}\right)^2 \times (\Delta j)^2 = P_t \left(\frac{h_1 h_2}{d^2}\right)^2$$

Formule imparfaite !

1. Atténuation en fonction de la distance est de 40dB/décade (12dB/octave)

2. En doublant la hauteur de la station de base, on a un gain de 6dB

3. L'atténuation n'est pas fonction de la fréquence : totalement faux

VERGEADE CONSULTANT  
TOUS DROITS DÉPOSÉS

## Diapositive 67

### 3. Prédiction de l'Atténuation de Propagation

#### 3.7 Modèle par transition de milieu

Modèle valable seulement sur terrain régulier !

Nécessite d'avoir par des mesures :

- 1. La puissance  $P_{r0}$  reçue à une distance de 1600 m
- 2. La pente d'atténuation du milieu considéré.

La puissance du champ reçu peut s'écrire : 
$$P_r = P_{r0} \times \left(\frac{r}{r_0}\right)^{-a} \times \left(\frac{f}{f_0}\right)^{-2} \times b_0$$

MAIS !

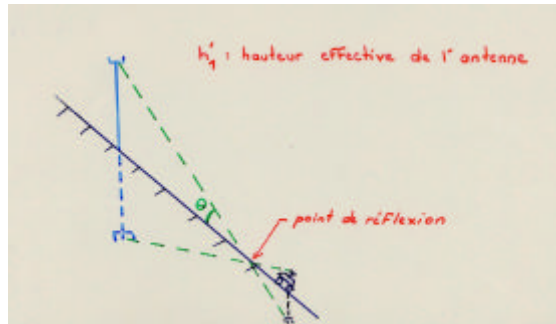
1. Difficile d'avoir la valeur de champ à 1600m (infrastructures urbaines) correction avec multiplication par une constante
2. Fréquence > 300 Mhz, pour que la longueur d'onde soit faible// taille des infrastructures urbaines (réflexion multiple).
3. Nécessité d'avoir le champ dans différents milieux : quasi ESPL, urbain, suburbain...

VERGEADE CONSULTANT  
TOUS DROITS DÉPOSÉS

### 3. Prédiction de l'Atténuation de Propagation

#### 3.8 Modèle par transition sur terrain irrégulier

Nous prenons en compte le relief du terrain ou se déplace un mobile;  
introduction de la hauteur effective de l'antenne :



$h'_1$  = hauteur au-dessus du point de réflexion spéculaire

VERGEADE CONSULTANT  
TOUS DROITS DÉPOSÉS

### 3. Prédiction de l'Atténuation de Propagation

#### 3.8 Modèle par transition sur terrain irrégulier

Modèle prenant en compte la réflexion sur le sol, qui absorbe une grande partie de l'énergie, en prenant en compte le relief du terrain ou de déplacer un mobile.

$$P_r = P_t \left( \frac{h_1 h_2}{d^2} \right)^2$$

$h_1$ : hauteur effective de l'antenne !

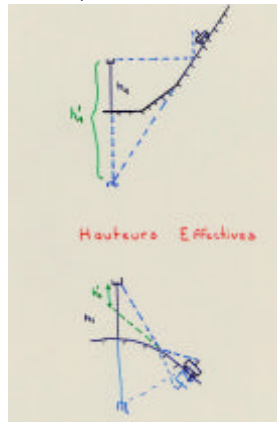
Remarque 1: En fonction du relief,  $h_1$  peut être plus petite ou **plus grande** que la hauteur de la station de base !

Remarque 2: En fonction du relief, on prend le point le **plus près de la station mobile** pour la prise en compte de la réflexion.

### 3. Prédiction de l'Atténuation de Propagation

#### 3.8 Modèle par transition sur terrain irrégulier

Exemples de différentes hauteurs effectives de l'antenne !

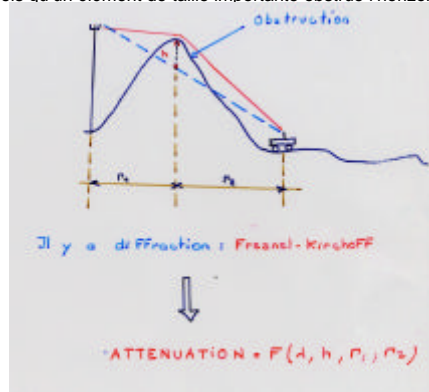


VERGEADE CONSULTANT  
TOUS DROITS DÉPOSÉS

### 3. Prédiction de l'Atténuation de Propagation

#### 3.9 Réflexion diffuse

A chaque fois qu'un élément de taille importante obstrue l'horizon radioélectrique



VERGEADE CONSULTANT  
TOUS DROITS DÉPOSÉS

### 3. Prédiction de l'Atténuation de Propagation

#### 3.9 Réflexion diffuse

Utilisation de la diffraction de Fresnel-Kirchoff, l'atténuation dépend de plusieurs distances, de la hauteur de l'obstacle et de la fréquence.

$$n = -h \times \sqrt{\left(\frac{1}{r_1} + \frac{1}{r_2}\right) \times \frac{2}{f}}$$

Pour une double arête, on détermine les éléments de chacune d'elle et on somme les atténuations.



### 3. Prédiction de l'Atténuation de Propagation

#### 3.9 Réflexion diffuse : Fresnel-Kirchoff

Si  $0 \leq n < 1$  alors  $Att = 20 \text{ Log } (0,5 + 6,2 n)$

Si  $-1 \leq n < 0$  alors  $Att = 20 \text{ Log } (0,5 \times e^{0,95 n})$

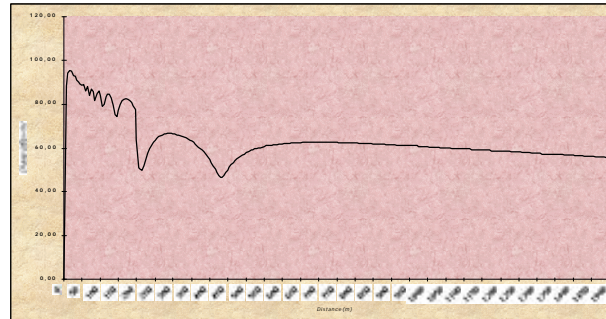
Si  $-2,4 \leq n < -1$   $Att = 20 \text{ Log } (0,4 - \sqrt{0,1184 - (0,1n + 0,38)^2})$

Si  $n < -2,4$  alors  $Att = 20 \text{ Log } (-\frac{0,225}{n})$

VERGEADE CONSULTANT  
TOUS DROITS DÉPOSÉS

### 3. Prédiction de l'Atténuation de Propagation

#### 3.9 Réflexion diffuse : Fresnel-Kirchoff



Diffraction pour une hauteur d'obstacle de 3m à une distance de 200m à 900 Mhz, pour une hauteur de station de base de 15 m et une hauteur du mobile de 5m.

VERGEADE CONSULTANT  
TOUS DROITS DEPOSES

## Diapositive 75

### **3. Prédiction de l'Atténuation de Propagation**

#### 3.10 Atténuation due au Feuillu

L'atténuation provoquée dépend de :

1. La fréquence
2. type d'arbre
3. la saison
4. la hauteur des arbres et de l'épaisseur du feuillage
5. la distance entre les antennes et l'arbre
6. la polarisation

VERGEADE CONSULTANT  
TOUS DROITS DÉPOSÉS

### 3. Prédiction de l'Atténuation de Propagation

#### 3.10 Atténuation due au Feuillu

Modèle de Weissberger

$$14\text{m} \leq \text{dFeuillu} < 400\text{m}$$

$$\text{Att} = 1,33 \times f^{0,284} \times \text{dFeuillu}^{0,588}$$

$$0 \leq \text{dFeuillu} < 14\text{m}$$

$$\text{Att} = 0,45 \times f^{0,284} \times \text{dFeuillu}$$

Fréquence en Ghz- dFeuillu en mètre

Perte moyenne à 30 Mhz est de l'ordre de 2 à 3 dB en polarisation V,  
et de 5 à 10 dB (!) à 100 Mhz.

VERGEADE CONSULTANT  
TOUS DROITS DEPOSES

## Diapositive 77

### **3. Prédiction de l'Atténuation de Propagation**

#### 3.10 Atténuation due au Feuillu

Si les arbres isolés n'ont pas beaucoup d'influence, les forêts doivent être traitées comme des obstacles en prenant en compte la hauteur moyenne des arbres !

VERGEADE CONSULTANT  
TOUS DROITS DÉPOSÉS

**3. Prédiction de l'Atténuation de Propagation: Conclusion**

1. Les modèles par transition de milieux sont 'imparfaits' car ils fournissent une prédiction avec un **écart type** d'environ 10 à 12 dB.
2. Pour les réseaux cellulaires, cette incertitude est trop importante : introduction des modèles point à point qui nécessitent l'utilisation de base de données géographiques
3. La prédiction de l'atténuation sur des terrains non plat impose de réaliser des coupes de terrain, en chaque point de calcul.

#### 4. Comparaison des différents modèles de Propagation

##### 4.1 Espace Libre

On suppose que le milieu est homogène et isotrope :

$$P_r = P_e \frac{G_e G_r I^2}{16 p^2 r^2}$$

$G_e$  Gain à l'émission

$G_r$  Gain à la réception

L'atténuation en dB ( $P_e/P_r$ ) est donné par :

$$Att_{ESPL} = 20 \text{ Log } (F) + 20 \text{ Log } (d) + 32,45$$

Avec F: fréquence en Mhz      d:distance en Km

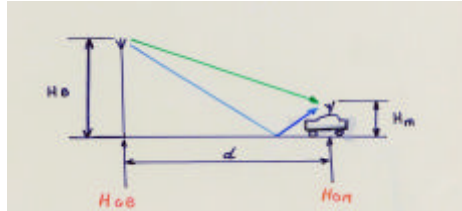
AN: à 900 Mhz avec d=1km l'atténuation en espace libre vaut 91,5 dB  
VERGEADE CONSULTANT  
TOUS DROITS DEPOSES

#### 4. Comparaison des différents modèles de Propagation

##### 4.2 Terre plate

On suppose que :

1. Onde à la réception= onde directe+onde réfléchie
2. Terre de conductivité finie



$$Att = 120 - 20 \log (X) + 40 \log (d)$$

Avec d: distance en Km

Si  $H_{GB} - H_{GM} \geq 0$   $X = [(H_{GB} - H_{GM}) + H_B] \times H_m$

Sinon  $X = [(H_{GM} - H_{GB}) + H_B] \times H_B$

VERGEADE CONSULTANT  
TOUS DROITS DEPOSES



## Diapositive 81

### 4. Comparaison des différents modèles de Propagation

#### 4.3 Bullington

La sphéricité de la terre provoque une atténuation supplémentaire si :

$$d > d_L = \frac{80}{\sqrt[3]{F \text{ (Mhz)}}}$$

Calcul du champ en terre plate + Atténuation de sphéricité

Domaine de validité :

$$F > 30 \text{ Mhz}$$

VERGEADE CONSULTANT  
TOUS DROITS DEPOSES

## Diapositive 82

### 4. Comparaison des différents modèles de Propagation

#### 4.4 Egli

Modèle issu de mesures de fréquence allant de 90 Mhz à 1Ghz

On suppose que la hauteur moyenne du mobile est de 1,5m

$$Att_{EGLI} = 139,1 - 20 \text{ Log } (h_b) + 40 \text{ Log } (d)$$

d:distance en Km

AN: pour d=1km et h=30m l'atténuation vaut 109 dB

VERGEADE CONSULTANT  
TOUS DROITS DÉPOSÉS

**4. Comparaison des différents modèles de Propagation**

4.5 Carey

**Trois hypothèses :**

1. La hauteur de l'antenne mobile est de 1,80 m
2. La hauteur de la station de base est de 30 à 1500 m
3. La distance entre Rx-Tx d est inférieure à 130 km

Si  $8\text{km} \leq d < 48\text{km}$

$$Att_{\text{CAREY}} = 110,7 - 19,1 \text{Log} (h_b) + 55 \text{Log} (d)$$

Si  $48\text{km} \leq d < 96\text{km}$

$$Att_{\text{CAREY}} = 91,8 - 18 \text{Log} (h_b) + 66 \text{Log} (d)$$

VERGEADE CONSULTANT  
TOUS DROITS DÉPOSÉS

**4. Comparaison des différents modèles de Propagation**

4.6 Tech-Note 101

**C'est un traité de propagation.**

Les bases de calcul prennent en compte:

1. Le profil de terrain
2. La réflexion de type Fresnel Kirschhoff
3. Les arrêtes de couteau + des extensions

Ses principes ont servis à élaborer les modèles de Longley-Rice et TIREM

VERGEADE CONSULTANT  
TOUS DROITS DEPOSES

**4. Comparaison des différents modèles de Propagation**

4.7 Longley-Rice

**Modèle très complet tenant compte des données de :**

- Fréquence
- Polarisation
- Distance
- Hauteur par rapport au sol
- Réfraction à la surface
- Rayon de courbure
- constante du sol :

mais aussi :

**$\epsilon$  ,  $S$**

- hauteur effective
- distance d'horizon des antennes
- l'irrégularité du terrain

VERGEADE CONSULTANT  
TOUS DROITS DÉPOSÉS

#### **4. Comparaison des différents modèles de Propagation**

##### 4.7 Longley-Rice

**L'intérêt de ce modèle : calcul de la prédiction de la variation du signal**

Quatre mode de variations sont définis afin d'obtenir un intervalle de confiance

Mode 3 : Intervalle de confiance de 4dB pour  $\Delta h$  de 0 à 5m.

Mode 4 : Temps/positionnement = 50 % avec un intervalle de confiance de 9dB pour  $\Delta h$  de 0 à 5m.

Remarques : De faibles variations sur les hauteurs (<10m) ont un impact IMPORTANT sur les prédictions de la variation.

**4. Comparaison des différents modèles de Propagation**

**4.8 T.I.R.E.M**

**Terrain Integrated Rough Earth Model : développé par l'ECAC**

Ce modèle fonctionne en 3 étapes:

1. Analyse du Profil
2. Détermination des paramètres (radio-horizon, hauteur effective, taux de dégagement de Fresnel)
3. Choix du mode de propagation  
ESPL, terre rugueuse, diffraction simple, diffraction terre rugueuse, diffusion troposphérique,...

VERGEADE CONSULTANT  
TOUS DROITS DÉPOSÉS

**4. Comparaison des différents modèles de Propagation**

4.9 OKUMURA et HATA

**C'est un modèle se présentant sous forme d'abaques issues de mesures réalisées au Japon par Y.Okumura, Eiji Ohmori, T.Kawano et K.Fukuda**

Ces mesures ont été réalisées :

- à différentes fréquences (de 200 Mhz à 1920 Mhz)
- à différentes hauteurs d'émission et de réception
- dans des milieux différents(urbain, sub-urbain, quasi-ouvert)

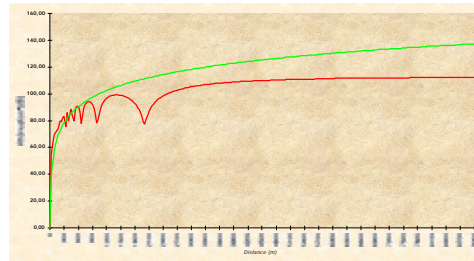
Domaine de validité :

$$\begin{aligned} 150 \text{ Mhz} &\leq F \leq 1.5 \text{ Ghz} \\ 1 \text{ km} &\leq d \leq 20 \text{ km} \\ 30 \text{ m} &\leq H_{\text{effective}} \leq 200 \text{ m} \end{aligned}$$

VERGEADE CONSULTANT  
TOUS DROITS DEPOSES



**4. Comparaison des différents modèles de Propagation**  
4.9 OKUMURA et HATA



Courbes d'atténuation à 890 Mhz avec HATA et comparaison avec une diffraction spéculaire

VERGEADE CONSULTANT  
TOUS DROITS DÉPOSÉS

**4. Comparaison des différents modèles de Propagation**  
4.9 OKUMURA et HATA

Le modèle de Hata est basé sur les courbes d'Okumura et propose des équations pour déterminer l'atténuation

$$Att_{HATA} = 69,55 + 26,16 \text{ Log} F - 13,82 \text{ Log} (h_b) - a(h_m) + [44,9 - 6,55 \text{ Log} (h_b)] \text{ Log} (d)$$

Avec F : en Mhz d: en km h en m

Le terme  $a(h_m)$  dépend du type de milieu :

Pour une ville moyenne et petite :

$$a(h_m) = (1,1 \text{ Log} F - 0,7) \times h_m - 1,56 \text{ Log} F - 0,8$$

Pour une grande ville :

$$a(h_m) = 3,2 \times (\text{Log} 1,54 h_m)^2 - 4,97$$

VERGEADE CONSULTANT  
TOUS DROITS DEPOSES

**4. Comparaison des différents modèles de Propagation**

**4.10 WALFISH-IKEGAMI**

**C'est un modèle très complexe développé spécifiquement pour le GSM et le DCS, pour les milieux urbains denses (COST 231).**

Ce modèle prend en compte :

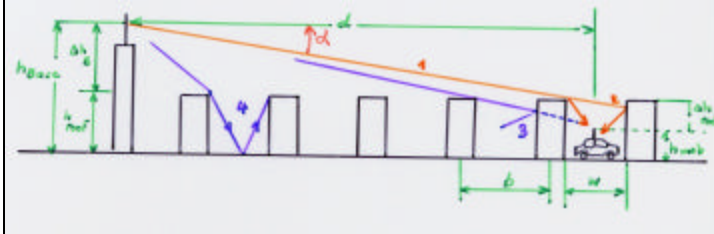
1. La fréquence et le type d'urbanisation (densité),
2. La hauteur des bâtiments, autour de la station de base et du mobile,
3. La largeur de la rue et l'angle de l'onde incidente par rapport à la rue,
4. Une diffraction sur le bâtiment le plus proche du mobile.

Domaine de validité :

$$\begin{aligned} 800 \text{ Mhz} &\leq F \leq 2 \text{ Ghz} \\ 200 \text{ m} &\leq d \leq 5 \text{ km} \\ 4 \text{ m} &\leq h_{\text{base}} \leq 50 \text{ m} \\ 1 \text{ m} &\leq h_{\text{mobile}} \leq 3 \text{ m} \end{aligned}$$

VERGEADE CONSULTANT  
TOUS DROITS DEPOSES

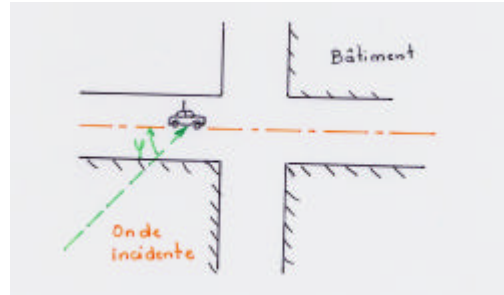
**4. Comparaison des différents modèles de Propagation**  
4.10 WALFISH-IKEGAMI



Les paramètres d'entrées du modèle

VERGEADE CONSULTANT  
TOUS DROITS DÉPOSÉS

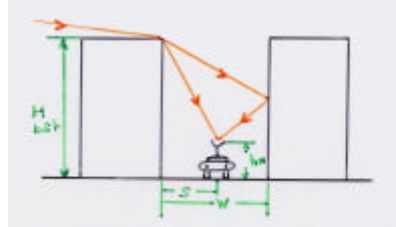
**4. Comparaison des différents modèles de Propagation**  
4.10 WALFISH-IKEGAMI



Les paramètres d'entrées du modèle

VERGEADE CONSULTANT  
TOUS DROITS DÉPOSÉS

**4. Comparaison des différents modèles de Propagation**  
4.10 WALFISH-IKEGAMI



En zone urbaine, le mobile ne reçoit que **deux** rayons :

- un arrivant directement au mobile après une diffraction sur le toit,
- un subissant une réflexion sur le bâtiment opposé au mobile après une diffraction sur le toit.

VERGEADE CONSULTANT  
TOUS DROITS DÉPOSÉS

#### 4. Comparaison des différents modèles de Propagation

##### 4.10 WALFISH-IKEGAMI

Equation du modèle

$$L = \begin{cases} L_o + L_{rue} + L_{mod} \\ L_o \end{cases} \quad \text{Si } L_{rue} + L_{mod} < 0$$

1.Cas du mobile en vue directe de la station de base :

$$L_b = 42,6 + 20 \text{ Log } (F) + 26 \text{ Log } (d)$$

2.Cas général :

$$L_o = 32,5 + 20 \text{ Log } (F) + 20 \text{ Log } (d)$$

$$L_{rue} = -16,9 - 10 \text{ Log } w(m) + 10 \text{ Log } F + 20 \text{ Log } \Delta h_{\text{roof}} + L_{\text{orientation}}$$

**4. Comparaison des différents modèles de Propagation**  
4.10 WALFISH-IKEGAMI

$$L_{\text{orientation}} = \begin{cases} 0 < f < 35^\circ : -10 + 0,354 \cdot f \\ 35^\circ \leq f \leq 55^\circ : 2,5 - 0,075 \cdot (f - 35) \\ 55^\circ \leq f \leq 90^\circ : 4 - 0,114 \cdot (f - 55) \end{cases}$$

$$L_{\text{mod}} = L_{\text{bsh}} + K_a + K_d \times \text{Log}d + K_f \times \text{Log}F - 9 \times \text{Log}b \quad (\text{m})$$

Position relative de l'aérien/toit

Type de ville

Séparation inter-bâtiments

$$K_f = \begin{cases} \text{ville moyenne} : -4 + 0,7 \left( \frac{F}{925} - 1 \right) \\ \text{en centre urbain} : -4 + 1,5 \left( \frac{F}{925} - 1 \right) \end{cases}$$

TOUS DROITS DÉPOSÉS



#### 4. Comparaison des différents modèles de Propagation

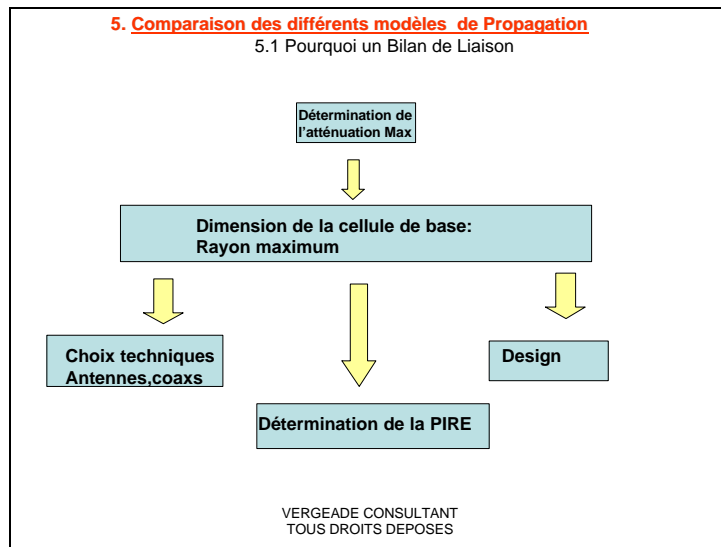
##### 4.10 WALFISH-IKEGAMI

$$K_a = \begin{cases} h_{\text{base}} > h_{\text{roof}} : 54 \\ \text{Pour } d \geq 0,5 \text{ km} : 54 - 0,8 \Delta h_{\text{base}} \\ \text{et } h_{\text{base}} \leq h_{\text{roof}} \\ \text{Pour } d < 0,5 \text{ km} : 54 - 0,8 \Delta h_{\text{base}} \times \frac{d}{15} \\ \text{et } h_{\text{base}} \leq h_{\text{roof}} \end{cases}$$

$$K_d = \begin{cases} h_{\text{base}} > h_{\text{roof}} : 18 \\ h_{\text{base}} \leq h_{\text{roof}} : 18 - 15 \times \frac{\Delta h_{\text{base}}}{h_{\text{roof}}} \end{cases}$$

$$L_{\text{bsh}} = \begin{cases} -18 \text{ Log } (1 + \Delta h_{\text{base}}) \\ 0 \text{ pour } h_{\text{base}} < h_{\text{roof}} \end{cases}$$

VERGEADE CONSULTANT  
TOUS DROITS DEPOSES



**5. Comparaison des différents modèles de Propagation**

5.2 Le Design

1.Déterminer le modèle de la cellule en fonction d'un modèle de propagation adapté au milieu et aux services à offrir à l'abonné en fonction du marketing.

2.Choisir les emplacements des stations de base

3.Fournir à chaque station, l'équipement nécessaire

4.Relier les Stations de Base au MSC (contrôleur de Station) pour un raccordement à un réseau fixe (Backbone de l'opérateur).

**5. Comparaison des différents modèles de Propagation**

5.3 Les paramètres du bilan de liaison

-La puissance de sortie des PA (power amplifier) BTS et mobile

-La sensibilité des récepteurs de la station de base et du mobile

-Les pertes câbles et connectiques

-Les pertes duplexeur (passage de la voie montante et descendante sur le même coaxial)

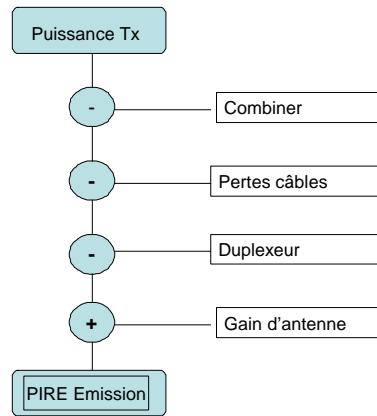
-Les pertes par couplage (plusieurs éléments de station de base)

-Le gain des aériens

**MAIS il faut que la voie **UPLINK** et **DOWLINK** possède la même valeur d'atténuation !**

**5. Comparaison des différents modèles de Propagation**

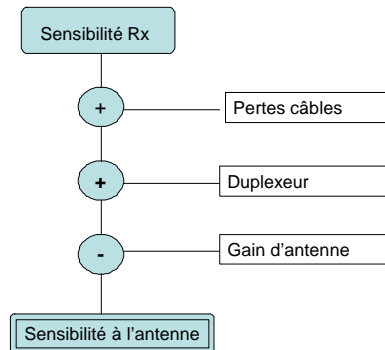
5.4 Calcul du Bilan de Liaison



VERGEADE CONSULTANT  
TOUS DROITS DÉPOSÉS

**5. Comparaison des différents modèles de Propagation**

5.4 Calcul du Bilan de Liaison



# 5. Comparaison des différents modèles de Propagation

## 5.4 Calcul du Bilan de Liaison

**ATT Maxi = MIN [ (Pire-Sensibilité)Uplink :(Pire-Sensibilité)Downlink ]**

RX	MS Indoor	
	UPLINK BTS	DOWNLINK MS
Sensibilité (dBm)	-104	-102
Pertes câbles (dB)	3	
Duplexeur (dB)	1	
Gain aérien	18	-3
<b>Sensibilité Antenne(dBm)</b>	<b>-118</b>	<b>-99</b>
Marge Indoor	15	15
Marge d'interférence	3	3
Niveau requis à l'antenne (dBm)	<b>-100</b>	<b>-81</b>
Tx	MS	BTS
Puissance de sortie(dBm)	33	38
Pertes combiner		3
Pertes câbles		3
Duplexeur		1
Puissance d'Alimentation Antenne(dBm)		
Gain aérien	-3	18
<b>PIRE Antenne (dBm)</b>	<b>30</b>	<b>49</b>
<b>ATTENUATION DE LIAISON</b>	<b>130</b>	<b>130</b>

VERGEADE CONSULTANT  
TOUS DROITS DEPOSES